

УДК 551.510.535 + 550.385

## ОНЧ ДИАГНОСТИКА ВАРИАЦИЙ ЭЛЕКТРОННОЙ КОНЦЕНТРАЦИИ ВНУТРИ МАГНИТОСФЕРЫ

*O. A. Молчанов, B. B. Кречетов, O. A. Мальцева*

Показано, что из анализа задержек импульсов наземного ОНЧ излучателя, отраженных от области поглощения при  $\omega \sim \omega_B \cos \psi$ , можно получать сведения о концентрации электронов в магнитосфере. Приведены некоторые экспериментальные данные и теоретические соображения, подтверждающие такую возможность.

Электронная концентрация  $N_e$  является одним из основных параметров магнитосферной плазмы. Вариации  $N_e$  в ионосфере достаточно хорошо определяются методом ионосферного зондирования наземным КВ передатчиком.  $N_e$  у нижней границы магнитосферы (высоты  $\sim 500 \div 1500$  км) может определяться зондовыми измерениями на спутниках, однако более высоко летящих спутников мало и в обозримом будущем этот метод не может дать регулярной информации об электронной концентрации на высотах, больших 2000 км. С другой стороны,  $N_e$  в экваториальной плоскости магнитосферы надежно регистрируется методом анализа динамических спектров свистящих атмосфериков в ОНЧ диапазоне и сигналов ОНЧ передатчиков, принимаемых в магнитосопряженной области излучателя [1]. Таким образом, у нас есть возможность узнать  $N_e$  у основания силовых линий магнитного поля, пронизывающих магнитосферу, и в их апогее, но пока нет метода для определения  $N_e$  на промежуточных высотах. Между тем такие сведения были бы полезны для решения, например, вопроса о связи плазмопаузы с ионосферным провалом и, фактически, протяженности плазмопаузы вдоль силовой линии или других подобных проблем. В данной работе предлагается такой метод и приводятся некоторые экспериментальные результаты по проверке идеи, заложенной в него. Кроме того, приводятся некоторые теоретические соображения.

В основе метода лежит эффект обратного рассеяния импульсов наземного ОНЧ излучателя, работающего на частоте  $\omega_0$ , превышающей минимальную электронную гирочастоту  $\omega_B \min$  вдоль траектории. Даже не конкретизируя механизм рассеяния (в дальнейшем мы рассмотрим один из них подробнее), можно предполагать, что отражение происходит в области, где  $\omega \sim \omega_{rs}$  — резонансной частоте ( $\omega \sim \omega_{Be} \cos \psi$  при  $t = \omega_{pe}^2/\omega_{Be}^2 \gg 1$ ,  $\omega_{Be}$  — гирочастота электронов,  $\omega_{pe}$  — плазменная частота электронов,  $\psi$  — угол между волновой нормалью и направлением геомагнитного поля). В этой области свистовая волна трансформируется в электростатическую электронную циклотронную волну с существенным уменьшением групповой  $v_g$  и фазовой скорости. Здесь может произойти нагрев и турбулизация электронов, а также нелинейное взаимодействие волн и частиц. Таким образом, возникает благоприятная ситуация для обратного рассеяния резонансного и нерезонансного типа.

Покажем теперь, что задержка  $\tau_p$  приходящего к Земле импульса рассеянного сигнала по отношению к времени излучения импульса исходной волны пропорциональна концентрации  $N_e$  вблизи точки отражения, причем высота отражения  $H$  зависит от  $\omega$ , и, следовательно, по

экспериментально наблюдаемым  $\tau_p(\omega)$  можно судить о профиле  $N_e(H)$ . Вследствие симметрии картины распространения будем считать:  $\tau_p \approx 2\tau_0$ , где  $\tau_0$  — время распространения зондирующего импульса от Земли до высоты  $H$ , которую в дальнейшем будем нормировать к радиусу Земли  $r_3$ . Итак,

$$\tau_0 = r_3 \int_{r=1}^H dS/v_g. \quad (1)$$

При вычислении  $v_g$  необходимо учитывать тепловую поправку к показателю преломления  $\mu$  исходной ОНЧ волны. Техника таких расчетов изложена в ряде работ, например [2], поэтому приведем лишь конечные формулы, считая для простоты  $t \gg 1$  и вводя обозначения  $x = \omega/\omega_B$ :

$$\begin{aligned} \Delta x &= (\omega_r - \omega)/\omega_B = \cos \psi - x, \\ \mu_+^2 &= (2t/x) \{ \Delta x + [\Delta x^2 + q \beta_{||}^2]^{1/2} \}^{-1}, \end{aligned} \quad (2)$$

где  $\beta_{||} = v/c \ll 1$  — отношение тепловой скорости электронов к скорости света, а

$$\begin{aligned} q &= \left\{ \frac{2t(1-x^2)}{x} \right\} \left\{ 3 \cos^4 \psi - x^2 \sin^2 \psi \cos^2 \psi \cdot \frac{1-3x^2+6x^4}{(1-x^2)^3} + \right. \\ &\quad \left. + \frac{3}{4} \frac{\sin^4 \psi x^4}{(1-x^2)} \right\}. \end{aligned} \quad (3)$$

Выражения (2) и (3) несправедливы в области сильного поглощения  $x \sim 1$ , так что следует считать  $(1-x) \gg (t \beta_{||}^2)^{1/3}$ . Тепловую поправку в (2) следует учитывать только для  $\Delta x \leq (q \beta_{||}^2)^{-1/3}$ , так что в (3) можно положить  $x = \cos \psi$ , и, следовательно,  $q \sim 1$ . При этом  $q < 0$  для  $\psi \leq 46^\circ$  и  $q > 0$  при  $46^\circ < \psi \leq 90^\circ$ . Как показывают траекторные расчеты,  $\psi_r \sim 20^\circ$ , поэтому мы ограничимся случаем  $q < 0$ . При этом  $\mu_+^2$  плавно переходит в электростатическую ветвь колебаний:

$$\mu_-^2 = 2t/x \{ \Delta x - [\Delta x^2 - |q| \beta_{||}^2]^{1/2} \}^{-1}. \quad (4)$$

Отметим, наконец, что при  $\Delta x \gg (|q| \beta_{||}^2)^{1/2}$   $\mu_+^2 \approx t/(x \Delta x)$  и в точности соответствует показателю преломления свистовой моды, а  $\mu_-^2 \approx 4t \Delta x/(x |q| \beta_{||}^2)$  соответствует сильно затухающей электростатической волне.

Интегрирование (1) будем проводить вдоль исходной силовой линии магнитного поля ( $S_B$ ). С учетом (2) и малости изменения  $L$  — параметра траектории

$$\begin{aligned} dS/v_g &\approx dS_B/c \sqrt{t/2x} \{ [\Delta x + (\Delta x^2 - |q| \beta_{||}^2)^{1/2}]^{-1/2} \times \\ &\quad \times [(\Delta x^2 - |q| \beta_{||}^2)^{1/2} + (\sin^2 \psi / 2 \cos \psi)]^{-1} \}. \end{aligned} \quad (5)$$

Таким образом, подынтегральное выражение в (1) имеет полюс при малых  $\Delta x$ , что существенно упрощает интегрирование. Будем считать, что в области отражения  $\Delta x \ll 1$ ,  $\sin \psi \ll 1$ , тогда высота отражения  $H$  равна

$$H \approx (\omega_{B0} \cos \psi (H)/\omega)^{1/3}, \quad (6)$$

где  $\omega_{B0}$  — гирочастота на Земле ( $r = 1$ ). Результат интегрирования зависит от толщины области отражения  $\Delta r$  по сравнению с характерной длиной:

$$\Delta r_k = (H/3 \cos \psi (H)) \beta_{||} \sqrt{|q|}. \quad (7)$$

При  $\Delta r \gg \Delta r_k \sim 10^{-3}$

$$\tau_0 = r_3 V \bar{L} H \omega_p / (c V \bar{L} - H \omega) (\Delta r)^{-1/2}. \quad (8)$$

Так как  $\omega_p \sim \sqrt{N_e}$ , то мы получаем итоговую формулу для интерпретации экспериментальных данных:

$$N_e = a \cdot 10^3 \tau_0^2 \Delta r [\omega (\text{кГц}) / 9H]^2, \text{ см}^{-3}, \quad (9)$$

где коэффициент  $a \sim 1$  и величина  $\Delta r$  определяется механизмом отражения. Например, для  $\tau_0 \sim 0,5 \text{ с}$ ,  $\omega \sim 20 \text{ кГц}$ ,  $H \sim 3,3$ ,  $L = 4,0$ ,  $r_3 \Delta r \sim 480 \text{ км}$  ( $\Delta r = 8 \Delta r_k$ ),  $N_e \sim 10^1 \text{ см}^{-3}$ . Как видно, предлагаемый метод весьма близок по форме свистовому методу определения экваториальной электронной концентрации [1], с той только немаловажной разницей, что по экспериментальным данным  $\tau(\omega)$  определяется не одно значение  $N_e(L)$  на экваторе, как в свистовом методе, а  $N_e(H)/L = \text{const}$ , т. е. профиль концентрации вдоль силовой линии. Таким образом, оба метода взаимно дополняют друг друга. Для того, чтобы получить представление о диапазоне высот, на рис. 1 приведены расчетные траектории и высоты отражения для  $L = 4,0$  и частот 12—37,0 кГц. (Детали вычислений см. в [3].) Видно, что высоты отражения увеличиваются с уменьшением частоты от  $H \sim 2$  ( $\omega = 37,0 \text{ кГц}$ ) до  $H \sim 3,5$  ( $\omega = 12,0 \text{ кГц}$ ). Соответствующие задержки  $2\tau_0$  (расчетные) меняются от 0,7 до 3 с, причем они считались до точки резкого поворота траектории ( $\times$ ), где волна переходит в «квазизахваченную» или электростатическую моду.

Рис. 1.

Коэффициент усиления  $K_p = 1$ , концентрация электронов  $N_0 = 1,5 \cdot 10^4 \text{ см}^{-3}$ .

При  $\theta = 0^\circ$  (вертикальная ось) и  $\theta = 90^\circ$  (горизонтальная ось) приведены расчетные траектории и высоты отражения для  $L = 4,0$  и частот 12—37,0 кГц. (Детали вычислений см. в [3].) Видно, что высоты отражения увеличиваются с уменьшением частоты от  $H \sim 2$  ( $\omega = 37,0 \text{ кГц}$ ) до  $H \sim 3,5$  ( $\omega = 12,0 \text{ кГц}$ ). Соответствующие задержки  $2\tau_0$  (расчетные) меняются от 0,7 до 3 с, причем они считались до точки резкого поворота траектории ( $\times$ ), где волна переходит в «квазизахваченную» или электростатическую моду.

Эксперименты по наблюдению эффекта обратного рассеяния были проведены нами в 1978—1979 гг. в рамках так называемой программы «МИНИ» [4]. Использовался субавроральный излучатель на частоте 19,0 кГц, посылающий импульсы длительностью 0,5 с с паузами между ними 3,5 с, так как ожидаемые задержки должны были лежать в этих пределах.

Режим работы был аналогичен тому, что использовался в эксперименте ИЗМИРАНа и НИРФИ в 1970 г. [5], в котором впервые наблюдалось обратное рассеяние посылок среднеширотного ОНЧ излучателя.

Основной трудностью в обнаружении обратного сигнала была его малая величина, т. е. после однократного импульса отраженный сигнал находился на уровне естественных шумов. Поэтому нами применялся метод преобразования отрезков времени между последующими импульсами в частотный интервал с дальнейшей амплитудно-частотной обработкой и накоплением спектров с использованием статистического анализа полученных данных. Для этой цели нами был собран специальный аппаратурный комплекс, позволяющий осуществлять такую обработку.

На рис. 2 приведены характерные результаты анализа сигнала (суточная интенсивность, сигнал плюс шум) для диапазона задержек (0—3 с) в начале сеансов (верхняя кривая), середины сеансов (средняя) и конца сеансов (нижняя кривая) 2 и 12 марта 1979 г. в ночное время (02—03<sup>h</sup> LT). Подъем кривой для малых значений  $\tau_p$  связан с прохождением прямого импульса в приемный тракт. Наличие второго максимума связано с приходом обратного сигнала. Видно, что наблюдаемые задержки лежат в пределах от 1,5 до 2,5 с, причем на протяжении сеанса длительностью 60 мин наблюдалось некоторое смещение задержек в сторону меньших значений. Более подробно это можно увидеть на рис. 3, где приведены все наблюдаемые задержки с 28 февраля по 12 марта 1979 г. Несмотря на недостаток статистики, сравнение на-

блюдаемых задержек с  $A_p$  (индексом полярной активности) за те же дни показывает тенденцию к уменьшению (увеличению) задержек с увеличением (уменьшением) геомагнитной активности, что согласуется с результатами свистового зондирования экваториальной электронной концентрации [1]. Заметим, что уменьшение задержек во время сеанса можно объяснить увеличением толщины области рассеяния  $\Delta r$  (см. (9)) со скоростью  $\sim 1 \text{ км/с}$ .

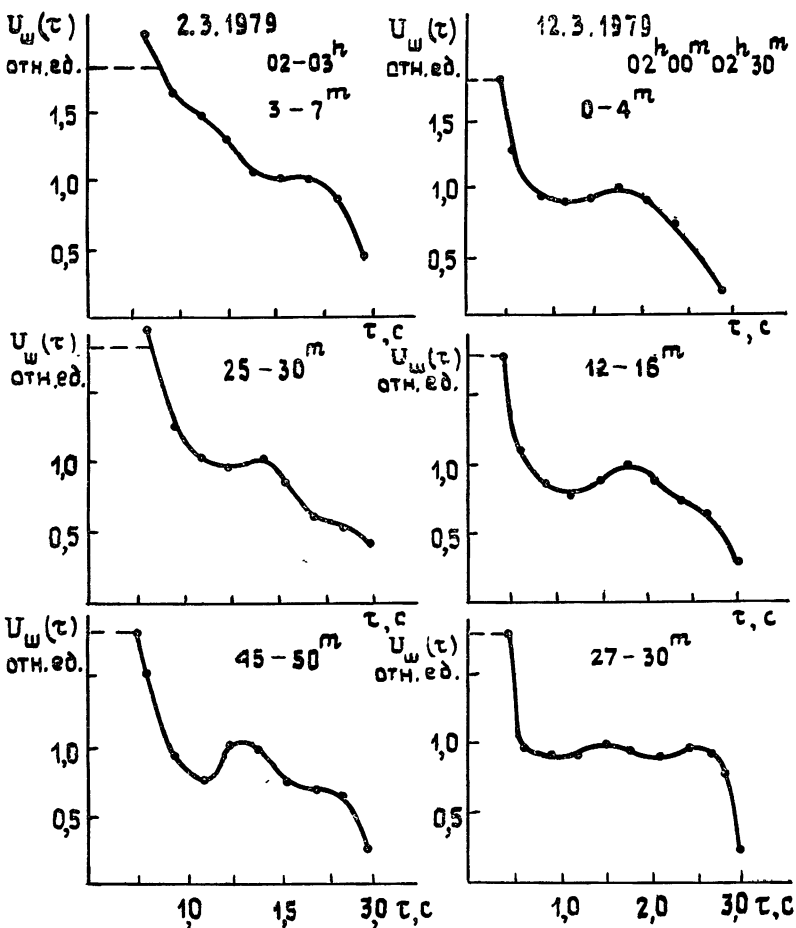


Рис. 2.

Анализ результатов на статистическую достоверность показал, что в 30% случаев с надежностью 95% и в 75% случаев с надежностью 50% мы имеем дело с реальным сигналом.

Таким образом, мы продемонстрировали возможность экспериментального обнаружения обратно-рассеянного сигнала и, следовательно, оперативного получения информации о величине электронной концентрации вдоль силовой магнитной линии в магнитосфере.

Рассмотрим теперь один из возможных механизмов рассеяния — резонансное взаимодействие свистовой волны с колебаниями типа ионного звука с распадом на свистовую волну, идущую в обратном направлении, и увеличением фона ионно-звуковых колебаний.

Распадное взаимодействие трех волн неоднократно рассматривалось в литературе [6-10]. Однако в этих работах рассматривалась отличная от нашей геометрия полей [7], либо делался упор на генера-

цию звука [8], или задача решалась в параметрическом приближении. Мы попытаемся рассмотреть дополнительные возможности применения к нашему случаю. Рассмотрим хорошо известные уравнения, описывающие трехволновое взаимодействие:

$$\begin{aligned} \partial A_0 / \partial t + \partial A_0 / \partial \tau_0 + \gamma_0 A_0 &= -\alpha_0 A_1 B, \\ \partial A_1 / \partial t - \partial A_1 / \partial \tau_1 + \gamma_1 A_1 &= \alpha_1 A_0 B, \\ \partial B / \partial t + \partial B / \partial \tau_2 + \gamma_2 (B - b) &= \beta A_0 A_1. \end{aligned} \quad (10)$$

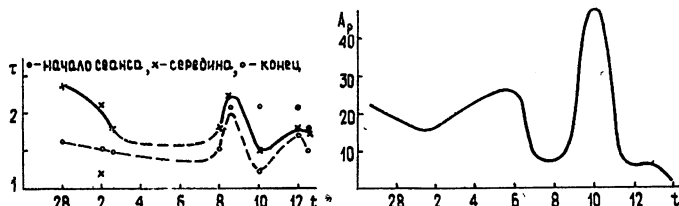


Рис. 3.

Уравнения (10) описывают эволюцию во времени  $t$  и в пространстве ( $z$ ) амплитуд исходной ( $A_0$ ) и рассеянной ( $A_1$ ) свистовых волн, а также амплитуды звуковой волны ( $B$ ). Здесь  $\gamma_i$  — декременты волн, а  $\tau_i = z/v_{g_i}$  — нормированные координаты,  $\alpha, \beta$  — коэффициенты распадного взаимодействия,  $b$  — фон звука. В отличие от ряда других работ [9] мы не можем пренебречь зависимостью амплитуд от координаты, более того, мы будем считать, что область взаимодействия  $z = (0, z_h)$  достаточно узкая, так что длительность исходного импульса  $\tau_i \geq \tau_k = z_h/v_{g_0}$ . Это связано с тем, что характерный нелинейный инкремент взаимодействия  $\gamma_{\text{пп}} = \sqrt{\alpha\beta A_0^2} - \gamma_1\gamma_2$  (это соотношение будет получено дальше) имеет максимум в области, где величина  $\gamma_{\text{пп}}^2 = \alpha\beta A_0^2$  растет из-за трансформации свистовых волн в электростатический мод, а затухание этих волн ( $\gamma_0, \gamma_1$ ) еще невелико и пороговые значения  $A_{0,\text{кр}} = (\gamma_0\gamma_1/\alpha\beta)^{1/2}$  легко достижимы. Действительно, довольно трудоемкие, но в принципе простые вычисления, подобные изложенным в работах [9, 10], с учетом показателя преломления в формуле (2) с естественным предположением  $\theta_1 = \pi - \theta_0, \Omega = \omega_0 - \omega_1 \ll \omega_0, |K_0| = |K_1|$  приводят к соотношениям

$$\begin{aligned} \alpha &= 2(e/m)(K_0 \omega_0 / \mu \Omega^2) \cos \theta (\sin^2 \theta + 2\Delta x^2)^{1/2}, \\ \beta &= 2(e/m)(\Omega / \omega_0) K_0 / [\omega_B (\sin^2 \theta + 2\Delta x^2)]. \end{aligned} \quad (11)$$

С учетом сохранения потока энергии в лучевой трубке можно, кроме того, получить

$$\mu A_0^2 = \mu_0 E_0^2 K_{\text{тр}} \frac{S_0}{S} \frac{(\sin^2 \theta + 2\Delta x^2) \exp(-2 \int \gamma_0 dz / v_{g_0})}{(\sin^2 \theta + 4\Delta x^2)^{1/2} \Delta x}, \quad (12)$$

где  $\mu_0, E_0, S_0$  — показатель преломления, амплитуда и сечение лучевой трубы в ионосфере,  $K_{\text{тр}}$  — коэффициент прохождения через нее,  $M = m_i/m_e$ . Принимая во внимание условие синхронизма  $\Omega = 2K_0 v_s \cos \theta$  и предполагая магнитную дефокусировку лучевых траекторий ( $S_0/S \sim \omega_B/\omega_{B0}$ ), получим соотношение для оценок

$$\gamma_{\text{пп}}^2 = 2(l/m)^2 (M \omega/c \omega_{B0}) \mu_0 E_0^2 K_{\text{тр}} \exp(-2 \int \gamma_0 dz / v_g) (1/v_s \Delta x). \quad (13)$$

Видно, что в области трансформации ( $\Delta x \sim \beta, \ll 1$ )  $\gamma_{\text{пп}}^2$  имеет значительный максимум до тех пор, пока интегральное затухание мало.

Будем решать уравнения (10), учитывая  $v_{g0} \approx v_{g1}$  и, следовательно,  $\tau_0 = \tau_1 = \tau$  и  $v_{g2} \ll v_{g0}$ . Последнее соотношение дает возможность пренебречь членом  $\partial B / \partial \tau_2$ , т. е. выносом звуковых волн из области взаимодействия. Исходя из изложенного выше, пренебрежем затуханием исходной волны  $\gamma_0$  и будем считать, что коэффициенты  $\alpha, \beta$  — постоянные в области  $(0, z_k)$  и равны нулю вне ее. Время  $t=0$  определим как момент прихода фронта исходной волны в точку  $z=0$ . Рассмотрим два случая:

А)  $A_1 \ll A_0, B(\alpha/\beta)^{1/2}$ . В этом случае изменением  $A_0$  можно пренебречь и

$$A_0 = A \cdot u(t - \tau), \quad (14)$$

где  $u$  — единичная функция Хевисайда. Начальные и граничные условия примем такими:

$$A_1(t - \tau) = A_1(\tau = \tau_k) = 0, \quad B(t - \tau) = B(\tau = \tau_k) = b + \Delta b, \quad (15)$$

где  $\Delta b$  — начальное возмущение звука.

Решение находим методом Лапласа, используя (14). В итоге

$$\begin{aligned} A_1(t, \tau) = & \frac{\alpha A_0}{2} bu(t - \tau) \left\{ \frac{\gamma}{P_1 P_2} \left[ 1 - e^{-\gamma_1 \Delta \tau} u(C) \gamma \times \right. \right. \\ & \times \int_0^C I_0(2\sqrt{kt'}) e^{-\gamma_1 t'} dt' \left. \right] + \frac{P_1(l+1)+\gamma}{P_1(P_1-P_2)} e^{P_1(t-\tau)} \times \\ & \times \left[ 1 - e^{-(\gamma_1+2P_1)\Delta \tau} u(C) (P_1+\gamma) \int_0^C I_0(2\sqrt{kt'}) e^{-(P_1+\gamma)t'} dt' \right] + \quad (16) \\ & + \frac{P_2(l+1)\gamma}{P_2(P_2-P_1)} e^{P_2(t-\tau)} \left[ 1 - e^{-(\gamma_1+2P_2)\Delta \tau} u(C) (P_2+\gamma) \times \right. \\ & \left. \left. \times \int_0^C I_0(2\sqrt{kt'}) e^{-(P_2+\gamma)t'} dt' \right] \right\}, \end{aligned}$$

где  $\Delta \tau = \tau_k - \tau$ ,  $C = t - \tau - 2\Delta \tau = t + \tau - 2\tau_k$ ,  $I_0$  — модифицированная функция Бесселя,  $\gamma \equiv \gamma_2$ ,  $k = \gamma_n^2 \Delta \tau$ ,  $l = \Delta b/b$ , а  $P_1, P_2$  — корни характеристического уравнения

$$P_1, P_2 = -\frac{(\gamma + 2\gamma)}{4} \pm \sqrt{\frac{(\gamma_1 + 2\gamma)^2}{16} + \frac{\gamma_n^2}{2}}.$$

Отсюда, между прочим, следует, что корень, характеризующий нарастающее со временем решение  $P_2 > 0$ , только если  $\gamma_n^2 = \gamma_h^2 - \gamma_1 \gamma_0 > 0$ . Будем рассматривать решение на выходе волны  $A_1$  из области взаимодействия ( $\tau = 0$ ). В случае длинного ( $t \gg 2\tau_k$ ) или короткого ( $t < 2\tau_k$ ) импульса и слабозатухающей свистовой накачки ( $\gamma \gg \gamma_1$ ) (16) можно упростить:

$$A_1(t < 2\tau_k) \approx \frac{(b + \Delta b) \alpha A_0}{(\sqrt{2\gamma_n^2 + \gamma^2} - \gamma)} \exp \left[ \frac{t}{2} (\sqrt{\gamma^2 + 2\gamma_n^2} - \gamma) \right], \quad (17)$$

$$A_1(t \gg 2\tau_k) = (\alpha A_0 b / \gamma_n^2) \gamma \exp [(\gamma_n^2 / \gamma) \tau_k].$$

Отсюда следует, что процесс имеет вид переходного с максимумом для  $t = 2\tau_k$ , при этом асимптотический уровень  $A_1$  «забывает» начальное возмущение  $\Delta b$ . Аналогичный результат мы имеем для  $B(t)$ . При тех же упрощениях

$$B(t) = b \cdot u(t - 2\tau_k) \exp [(\gamma_h^2/\gamma) \tau_k] + (b + \Delta b) \times \\ \times \exp [(t/2) (\sqrt{\gamma^2 + 2\gamma_h^2} - \gamma)] [1 - u(t - 2\tau_k)]. \quad (18)$$

Этот результат подобен полученному в работе [6]. Одним из важных следствий указанного обстоятельства является то, что импульсное периодическое воздействие с длительностью импульсов  $\tau_k \sim 2z_k/v_g$  и общей длительностью  $T$  может стать более эффективным для рассеяния, чем непрерывное воздействие такой же длительности. Действительно, если пренебречь неоднородностью распределения  $\Delta b$  в области взаимодействия, считая  $\langle \Delta b \rangle = (1/2)\Delta b_{\max}$ , положить  $\tau_h = \tau_p$  (длительности паузы) и взять  $\tau_h \gg 2\tau_k$ , то при  $T = 2n(\tau_k + \tau_p)$ ,  $n \gg 1$ ,

$$\Delta b_n(T) \approx (1/2^n) \{ \exp [n(\sqrt{\gamma^2 + 2\gamma_h^2} - 3\gamma) \tau_k] - 1 \}, \quad (19)$$

$$\Delta b_n \gg \Delta b_1 \quad \text{при } \gamma_h > 2\gamma.$$

Формула (17) показывает, что накопление уровня звука должно с неизбежностью привести к повышению интенсивности рассеяния.

Б). Рассмотрим теперь влияние изменения амплитуды исходной волны  $A_0$  в результате взаимодействия. Для достаточно длинных импульсов, как показано выше, задачу можно решать в квазистационарном приближении. Кроме того, как и раньше, считаем  $\gamma_0, \gamma_1 \ll \gamma$ , тогда из (10) получаем

$$\partial A_0 / \partial \tau = -\alpha A_1 B, \quad -\partial A_1 / \partial \tau = \alpha A_0 B, \quad \gamma_2(B - b) = \beta A_0 A_1. \quad (20)$$

Границные условия возьмем следующим образом:

$$A_0(0) = A, \quad A_1(\tau_k) = 0, \quad B(\tau_k) = b. \quad (21)$$

Из (20) сразу же получаем закон сохранения

$$A_0^2 - A_1^2 = A_0^2(\tau_k) = \text{const}. \quad (22)$$

Если обозначить  $A_0^2(\tau_k)/A^2 = d$  коэффициент «прохождения» исходной волны и  $g = A_1^2(0)/A^2$  — коэффициент отражения рассеянной волны, то (22) с учетом (21) имеет простой физический смысл сохранения энергии, т. е.  $d + g = 1$ . Введем обозначения  $x_1 = A_1^2/A^2$ ,  $q = \beta A^2/2\gamma b$ ,  $\gamma_h^2 = \alpha \beta A^2$ ,  $u = [1 + 2q\sqrt{x_1(x_1 + d)}]^{-1}$ , тогда после несложных вычислений получим решение

$$u = (1 + q^2 d^2)^{-1} [1 + (qd/2)(F - 1/F)], \quad (23)$$

$$F = (qd + \sqrt{1 + q^2 d^2}) \exp [-(\gamma_h^2/\gamma q) \sqrt{q^2 d^2 + 1} \Delta \tau].$$

В этом решении неизвестным является параметр  $d$ . Напомним, однако, что  $d = 1 - g$ , а  $x_1(0) = g$ . Используя это, получаем уравнение для  $g$ , в котором фигурируют только известные параметры:

$$\sqrt{g} = \frac{1-g}{2} \frac{q(1-g) - z_k}{1+q(1-g)z_k}, \quad z_k = \frac{1}{2} \left( F_k - \frac{1}{F_k} \right), \quad (24)$$

$$F_k = F(\tau = 0).$$

Решив это уравнение относительно  $g$ , мы получаем возможность найти общее решение (23). Ограничимся, однако, анализом (24).

а) При  $q \ll 1$ , т. е.  $(\gamma_h/\gamma) A/b \ll \sqrt{\alpha/\beta}$  — сильном звуковом фоне,

$$g \approx \operatorname{th}^2 \gamma_h^2 \tau_k^2 / 2\gamma q = \operatorname{th}^2 (\alpha b \tau_k), \quad (25)$$

где  $i\hbar$  — гиперболический тангенс. Решение описывает рассеяние на звуковом фоне в слое толщиной  $\tau_k$  и аналогично [11].

б) При  $q \gg 1$ , т. е.  $(\gamma_h/\gamma) A/b \gg \sqrt{\alpha/\beta}$  — слабом звуковом фоне, при  $g \ll 1$

$$\sqrt{g} \sim (1/2q) (\exp(\gamma_h^2 \tau_k/\gamma) - 1). \quad (26)$$

Решение весьма напоминает асимптотику (17).

График  $g(q)$ , т. е. зависимость  $g(A^2)$  при некоторых значениях параметров, приведен на рис. 4, где

$A_{kp}^2 = 2\gamma b/\beta$ ,  $P = 2ab$ . Приведем некоторые численные оценки.

Даже при сравнительно большом поглощении в ионосфере  $K_{tr} \sim 10^{-2}$  и слабом зондирующем сигнале  $E_0 \sim \sim 10^{-3} B/m$  при  $\omega \sim 10^4$  Гц и  $v_g \sim 10^7$  м/с получаем  $\gamma_h^2 \sim 10^4$  и параметр усиления  $\gamma_h^2/\tau_k \sim 10^2$  — велик даже при сильно затухающей звуковой турбулентности. Кроме того, такие черты явления, как повышение эффективности рассеяния с течением времени, особенно при импульсной работе, а также «разбухание» рассеивающей области со скоростью, близкой к ионно-звуковой, по-видимому, не противоречат предложенной схеме.

Авторы благодарны А. Ю. Щекотову в проведении эксперимента и В. К. Михайловой за оформление работы.

## ЛИТЕРАТУРА

1. Helliwell R. A.—In.: *Wistlers and related ionospheric phenomena* — Stanford: Stanford Univ. Press, 1965.
2. Ахиезер А. И., Ахиезер И. А., Половин Р. В. и др. Электродинамика плазмы. — М: Наука, 1974. — С. 190.
3. Мальцева О. А., Молчанов О. А., Резников А. Е. — В сб.: Низкочастотные волны и сигналы в магнитосфере Земли — М: Наука, 1980 — С. 105.
4. Молчанов О. А. и др. — В сб.: Исследование процессов в авроральной магнитосфере методами активного воздействия. — Апатиты, изд-во Кольского филиала АН СССР, 1978. — С. 106.
5. Рапопорт В. О., Трахтенгерц В. Ю., Череповицкий В. А. — Изв. вузов — Радиофизика, 1976, 19, № 12, с. 1904.
6. Горбунов Л. М. — ЖЭТФ, 1972, 62, № 6, с. 2141.
7. Willet J. E., Sinap B. — Plasma Phys., 1978, 20, № 12, р. 63.
8. Тамайкин В. В., Файнштейн С. М. — ЖЭТФ, 1971, 60, № 5, с. 1969.
9. Котик Д. С., Трахтенгерц В. Ю. — Геомагнетизм и аэрономия, 1973, 13, № 5, с. 871.
10. Пустовалов В. В., Силин В. П. — Труды ФИАН, 1972, 61, с. 42.
11. Виноградова М. Б., Руденко О. В., Сухоруков А. П. Теория волн. — М: Наука, 1979. — С. 383.

Институт земного магнетизма, ионосферы и распространения радиоволн АН СССР

Поступила в редакцию  
26 августа 1980 г.

## VLF DIAGNOSTICS OF ELECTRON CONCENTRATION VARIATION INSIDE THE MAGNETOSPHERE

O. A. Molchanov, V. V. Krechetov, O. A. Mal'tseva

It is shown that an analysis of delay of pulses of ground-based VLF emitter which reflected from the absorption region at  $\omega \sim \omega_B \cos \psi$  gives data on electron concentration in the magnetosphere. Some experimental data and theoretical conclusions supporting such a possibility are given.

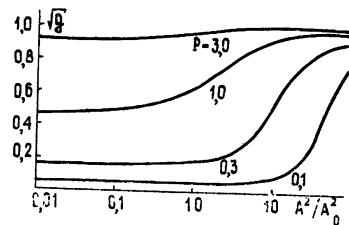


Рис. 4.